

УДК 004.652, 539.3

Б.Е. Панченко

## ВЫСОКОТОЧНОЕ КЛАСТЕРНОЕ РЕШЕНИЕ ЗАДАЧИ О ДИФРАКЦИИ ВОЛН СДВИГА НА СИСТЕМЕ ОТВЕРСТИЙ В ПОЛУБЕСКОНЕЧНОЙ ИЗОТРОПНОЙ СРЕДЕ С ЗАЩЕМЛЕННОЙ ГРАНИЦЕЙ

Предложен параллельный алгоритм численного решения стационарной динамической задачи теории упругости о взаимодействии SH-волн с системой отверстий произвольного поперечного сечения, находящейся в полупространстве с защемленной границей. Краевая задача сведена к системе интегральных уравнений, которая решается численно. Схема параллельных вычислений позволила исследовать ситуации с большим числом отражающих отверстий. Приведены новые численные результаты.

### Введение

Анализ взаимодействия стационарных волн перемещений и напряжений в упругой среде с системой отверстий [1] позволяет оценить ресурсы конструкций, содержащих большое число таких неоднородностей. Поэтому такие исследования являются актуальными. Учитывая то, что моделирование динамических взаимодействий упругих волн и систем неоднородностей требует привлечения больших объемов вычислений и значительных ресурсов цифровой памяти, особое значение приобретают эффективные параллельные алгоритмы [2]. Тем более, что такие задачи являются все еще малоисследованными.

Среди аналитических методов решения плоских и антиплоских задач теории дифракции на отражающих неоднородностях произвольной формы особую роль в разработке кластерных алгоритмов играет метод интегральных уравнений [3, 4]. Важным преимуществом этого метода является сокращение числа пространственных переменных [3]. В настоящей работе исследуется алгоритм кластерного решения интегрального уравнения Фредгольма второго рода, возникающего при исследовании модельной задачи дифракции волн сдвига на системе цилиндрических полостей произвольного поперечно-

го сечения в полубесконечной среде с защемленной границей.

### 1. Постановка задачи

Рассмотрим упругое полупространство  $y \geq 0$  с защемленной границей  $y = 0$ , содержащее  $m$  туннельных вдоль оси  $Oz$  полостей, поперечные сечения которых ограничены замкнутыми (без общих точек) контурами  $L_j$ ,  $j = \overline{1, m}$  типа Ляпунова. Пусть  $L$  – совокупность указанных контуров и положительное направление выбрано так, что при движении вдоль  $L$  область  $D$  остается слева (рис. 1).

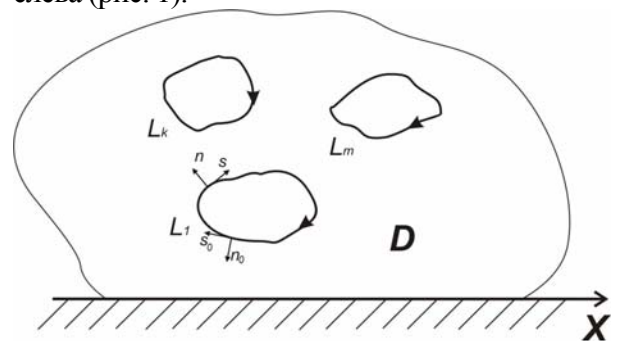


Рис. 1

Предположим, что источники внешнего поля перемещений  $W_0$  размещены в области  $D$ . В качестве такого источника может быть набегающая на цилиндры из бесконечности монохроматическая SH-волна, нормаль к фронту которой составляет угол  $\psi$  с осью  $Ox$  ( $\tau = \text{const}$ ),

$$W_0 = \tau e^{-i\gamma_2(x \cos \psi + y \sin \psi)}, \quad \gamma_2 = \frac{\omega}{c_2} \quad (1)$$

или гармонический источник интенсивности  $P$ , сосредоточенный в точке  $M_0(x_0, y_0)$  и порождающий поле перемещений:

$$W_0 = -\frac{P}{\mu} \frac{1}{4i} H_0^{(1)}(\gamma_2 r), \quad r = |z - z_0|, \\ z = x + iy, \quad z_0 = x_0 + iy_0. \quad (2)$$

Здесь  $c_2$  – скорость волны сдвига,  $\omega$  – частота колебаний,  $\mu$  – модуль сдвига,  $i$  – мнимая единица ( $i^2 = -1$ ),  $H_n^{(1)}(x)$  – функция Ханкеля первого рода  $n$ -го порядка, зависимость от времени выражается множителем  $e^{-i\omega t}$ .

В результате взаимодействия падающей и отраженной от границы  $y = 0$  волн с отверстиями возникает дифрагированное волновое поле. Обозначим  $W_1$  амплитуду отраженной от заземленной границы  $y = 0$  волны сдвига. Тогда суммарное поле амплитуд перемещений представимо в виде  $W = W_0 + W_2 - W_1$ .

В случае набегающей из бесконечности волны сдвига (1) отраженная от границы волна имеет вид [5]:

$$W_1 = \tau e^{-i\gamma_2(x \cos \psi - y \sin \psi)}, \quad \gamma_2 = \frac{\omega}{c_2}.$$

А в случае гармонического источника (2):

$$W_1 = -\frac{P}{\mu} \frac{1}{4i} H_0^{(1)}(\gamma_2 r_1), \quad r_1 = |z - \bar{z}_0|, \\ \bar{z}_0 = x_0 - iy_0. \quad (3)$$

Неизвестная функция  $W_2$  должна удовлетворять однородному уравнению Гельмгольца в области  $D$  с волновым числом  $\gamma_2$ :

$$\Delta W_2 + \gamma_2^2 W_2 = 0, \quad \Delta = \frac{\partial^2}{\partial x^2} + \frac{\partial^2}{\partial y^2}, \quad (4)$$

а также условием излучения на бесконечности типа Зоммерфельда [3].

На границе отверстий  $L$  нас будут интересовать касательные напряжения  $\sigma_{sz} = \tau_s e^{-i\omega t}$ ,  $\sigma_{nz} = \tau_n e^{-i\omega t}$ . В случае антиплоской деформации

$$\tau_s = \mu \frac{\partial W}{\partial s}, \quad \tau_n = \mu \frac{\partial W}{\partial n}, \quad (5)$$

где  $s$  – положительная касательная,  $n$  – нормаль в точке  $\zeta = \xi + i\eta \in L$  (рис. 1).

Пусть  $\zeta_0 = \xi_0 + i\eta_0$  – точка  $L$ , в которой будем удовлетворять граничные условия. Так как  $L$  – граница отверстий, то, очевидно,

$$\frac{\partial}{\partial n_0} (W_0 - W_1 + W_2)|_L = 0, \quad (6)$$

где  $n_0$  – нормаль к  $L$  в точке  $\zeta_0 \in L$ .

Таким образом, задача дифракции волны сдвига (1) или (2) на системе отверстий в изотропном полупространстве с заземленной границе сводится к решению краевой задачи (4), (6) при выполнении дополнительных условий излучения на бесконечности.

## 2. Метод решения

Следуя [5, 6], запишем функцию  $W_2(x, y)$ , характеризующую рассеянную отверстиями волну перемещений в области  $D$ , следующим образом:

$$W_2(x, y) = \int_L f(s) G(x, y, \xi, \eta) ds,$$

$$G = \frac{1}{4i} (H_0^{(1)}(\gamma_2 r) - H_0^{(1)}(\gamma_2 r_1)), \quad r = |z - \zeta|, \\ r_1 = |z - \bar{\zeta}|, \quad z = x + iy, \quad \bar{\zeta} = \xi - i\eta. \quad (7)$$

Здесь  $L$  – совокупность контуров  $L_j$ ,  $j = \overline{1, m}$  (рис. 1);  $f(s)$  – неизвестная функция, удовлетворяющая на  $L$  условию Гельдера.

Интегральное представление (7) удовлетворяет уравнению Гельмгольца (4) в области  $D$  и обеспечивает выполнение условий излучения на бесконечности. Остается выполнить граничное условие (6). Для осуществления предельного перехода в (6) при  $z \rightarrow \zeta_0 \in L$  частные производные  $\frac{\partial W}{\partial s_0}$  и  $\frac{\partial W}{\partial n_0}$  будем понимать

следующим образом:

$$\frac{\partial W}{\partial s_0} \Big|_L = \left( e^{i\varphi_0} \frac{\partial W}{\partial z} + e^{-i\varphi_0} \frac{\partial W}{\partial \bar{z}} \right)_{z \rightarrow \zeta_0}, \\ \frac{\partial W}{\partial n_0} \Big|_L = -i \left( e^{i\varphi_0} \frac{\partial W}{\partial z} - e^{-i\varphi_0} \frac{\partial W}{\partial \bar{z}} \right)_{z \rightarrow \zeta_0},$$

$$e^{i\varphi_0} = \frac{d\zeta_0}{ds_0}, \quad \zeta_0 = \xi_0 + i\eta_0 \in L. \quad (8)$$

Воспользуемся также известными соотношениями [4, 5]:

$$\frac{\partial}{\partial z} H_0^{(1)}(\gamma r) = -\frac{\gamma}{2} e^{-i\alpha} H_1^{(1)}(\gamma r),$$

$$\frac{\partial}{\partial \bar{z}} H_0^{(1)}(\gamma r) = -\frac{\gamma}{2} e^{i\alpha} H_1^{(1)}(\gamma r),$$

$$H_1^{(1)}(\gamma r) = \frac{2}{i\pi\gamma r} + H_1(\gamma r), \quad z - \zeta = re^{i\alpha}, \quad (9)$$

где  $H_1(x)$  – непрерывная функция в точке  $x = 0$ .

Привлечение формулы Сохоцкого – Племяля [3] для вычисления предельных значений интегралов типа Коши, возникающих при удовлетворении граничного условия (6) с учетом соотношений (7) – (9), приводит к искомому интегральному уравнению относительно неизвестной функции  $f(s)$ :

$$\frac{1}{2} f(s_0) + \int_L f(s) E(s, s_0) ds = K_n(s_0), \quad n = 1, 2$$

$$E(s, s_0) = \gamma_2 \left( H_1^{(1)}(\gamma_2 r_0) \sin(\alpha_0 - \varphi_0) - H_1^{(1)}(\gamma_2 r_{10}) \sin(\alpha_{10} - \varphi_0) \right),$$

$$\zeta_0 - \zeta = r_0 e^{i\alpha_0}, \quad \zeta_0 - \bar{\zeta} = r_{10} e^{i\alpha_{10}},$$

$$K_1(s_0) = i\gamma_2 \left( W_0(s_0) \sin(\psi - \varphi_0) - W_1(s_0) \sin(\psi + \varphi_0) \right),$$

$$K_2(s_0) = -\frac{P}{\mu} \gamma_2 \left( H_1^{(1)}(\gamma_2 \rho_0) \sin(\psi_0 - \varphi_0) - H_1^{(1)}(\gamma_2 \rho_{10}) \sin(\psi_{10} - \varphi_0) \right),$$

$$\zeta_0 - z_0 = \rho_0 e^{i\psi_0}, \quad \zeta_0 - \bar{z}_0 = \rho_{10} e^{i\psi_{10}}. \quad (10)$$

Здесь функции  $K_1(s_0)$  и  $K_2(s_0)$  отвечают случаям (1) и (2) соответственно.

Представим ядро  $E(s, s_0)$ , учитывая (9), в виде:

$$E(s, s_0) = \frac{2}{\pi i} \operatorname{Im} \left\{ \frac{e^{i\varphi_0}}{\zeta - \zeta_0} \right\} + \gamma_2 \left( H_1^*(\gamma_2 r_0) \sin(\alpha_0 - \varphi_0) - H_1^{(1)}(\gamma_2 r_{10}) \sin(\alpha_{10} - \varphi_0) \right). \quad (11)$$

Теперь нетрудно убедиться [3], что функция  $E(s, s_0)$  непрерывна на  $L$ . Следовательно, интегральное уравнение (10) является уравнением Фредгольма

второго рода, которое, как известно, разрешимо и имеет единственное решение в классе функций, непрерывных по Гельдеру.

### 3. Дискретизация задачи

Представим неизвестную плотность  $f(s)$  интегрального уравнения (9) как совокупность функций  $f_j(s_j)$ , определенных на контурах  $L_j$ ,  $j = \overline{1, m}$ . Тогда (10) превращается в систему интегральных уравнений Фредгольма 2-го рода

$$\frac{1}{2} f_k(s_{k0}) + \sum_{j=1}^m \int_{L_j} f_j(s_j) E(s_j, s_{k0}) ds_j = K_n(s_{k0}),$$

$$k = \overline{1, m}, \quad n = 1, 2. \quad (12)$$

Здесь дуговые координаты  $s_j$  и  $s_{k0}$  относятся к точкам  $\zeta_j = \xi_j + i\eta_j \in L_j$  и  $\zeta_{k0} = \xi_{k0} + i\eta_{k0} \in L_k$  соответственно.

Численная реализация интегральных уравнений (12) проводилась методом механических квадратур [3]. Вводилась параметризация контура  $L_j$  с помощью соотношений:

$$\zeta_j = \zeta_j(\beta), \quad \zeta_{j0} = \zeta_{j0}(\beta_0), \quad 0 \leq \beta, \beta_0 < 2\pi, \quad (13)$$

причем  $\zeta_j(0) = \zeta_j(2\pi)$ . Интегральное уравнение, соответствующее контуру  $L_k$ , удовлетворялось в узлах вида  $\beta_l = \pi(2l-1)/n_k$ , ( $l = \overline{1, n_k}$ ) и сводилось к системе линейных алгебраических уравнений относительно значений функции  $f_k(\beta)$  в узлах вида  $\beta_p = \pi(2p-1)/n_j$ , ( $p = \overline{1, n_j}$ ), где  $n_j$  – число точек разбиения контура  $L_j$ . Внеинтегральные значения  $f_k(\beta_l)$  выражались с помощью интерполяционных полиномов Лагранжа через искомые значения  $f_k(\beta_p)$ . Для нечетных  $n_k$  имеем следующие выражение [6]:

$$f_k(\beta_l) = \frac{1}{n_k} \sum_{p=1}^{n_k} (-1)^{n_k+p} f_k(\beta_p) \operatorname{ctg} \frac{\beta_l - \beta_p}{2}. \quad (14)$$

Таким образом, при численной реализации системы интегральных уравнений (12) задача сводится к решению системы линейных алгебраических уравнений с  $N = n_1 + n_2 + \dots + n_m$  неизвестными.

#### 4. Схема вычислений

Пусть система интегральных уравнений сведена к системе линейных алгебраических уравнений, все элементы матрицы которой являются результатом дискретизации контуров. Очевидно, что размер матрицы пропорционален числу отверстий. Для исследования описанного метода при большом числе отверстий, а также для получения высокоточных результатов с погрешностью вычислений до  $10^{-10}$  и проверки сходимости решений при большом числе точек коллокации потребуются существенные вычислительные ресурсы. Применим распараллеливание алгоритма. Из системы уравнений (12) следует, что каждый элемент матрицы определяется координатами узлов дискретизации.

Как показано на рис. 2, данный метод в вычислительном смысле сводится к обходу каждого контура по точкам коллокации внеинтегральной переменной  $\zeta_{k0}$  и одновременному же обходу каждого контура по аналогичным либо иным узлам переменной интегрирования  $\zeta_k$ .

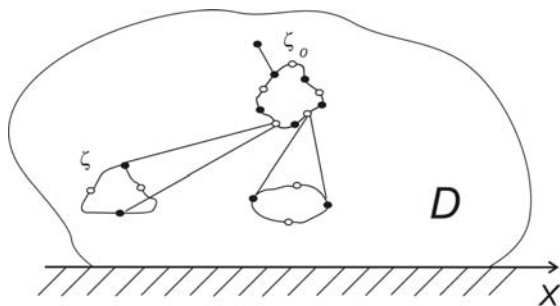


Рис. 2

Важной особенностью алгоритма такого обхода является то, что результирующая матрица формально является результатом Декартова произведения этих множеств. Это означает, что все элементы матрицы независимы один от другого, что не строго доказывает возможность применения параллельного вычисления.

Таким образом, переменная  $\zeta_{k0}$  формирует строки матрицы СЛАУ, а переменная  $\zeta_k$  – ее столбцы. Диагональные элементы матрицы соответствуют

коэффициентам системы, вычисленным в узлах общих для  $\zeta_{k0}$  и  $\zeta_k$  отверстий. Иные коэффициенты вычисляются так, что значения  $\zeta_{k0}$  принадлежат множеству точек коллокации с одних контуров, а значения переменных интегрирования  $\zeta_k$  – с других.

Параллельно-конвейерная схема вычислений показана на рис. 3. Тут приведена пропорция интервалов времени вычислений на: синтез массивов исходных данных (время  $t_0$  при количестве процессов  $P_1$ ), синтез матрицы СЛАУ (время  $t_1$  при количестве процессов  $P_1$ ), решение СЛАУ методом Гаусса ( $t_2$  – оптимальное время вычислений при оптимальном числе процессов  $P_0$ ), синтез массивов итоговых решений (время  $t_3$ ). Первый, второй и четвертый этапы макроконвейера не требуют пересылок данных, что означает независимость вычислений. На третьем этапе для решения СЛАУ существует оптимальное число процессов, определяемое спецификой матрицы. Это означает, что для 1, 2 и 4 этапов алгоритма оптимальным является число процессов, соответствующих числу коэффициентов СЛАУ. А для решения СЛАУ число оптимальных процессов значительно меньше. Такой несимметричный алгоритм поддерживает операционная система MPI-2 посредством процедуры spawn («икрометание»). Но в настоящих исследованиях кластер такой мощности не применялся.

Для алгоритма решения СЛАУ искомого интегрального уравнения Фредгольма 2-го рода оптимальным числом оказалось 200 – 250 процессов при заданной точности  $10^{-10}$ .

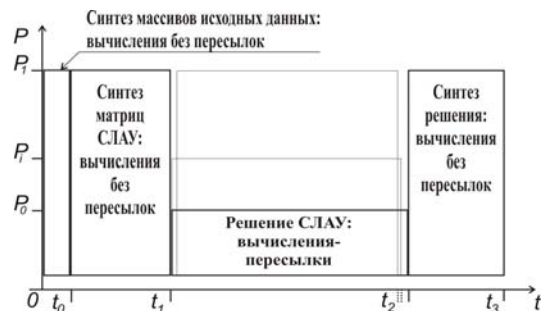


Рис. 3

На рис. 4 показан графік залежності загального часу кластерних обчислень масива контурних напружень на ромбічному отверстії від числа процесів для одного варіанта навантаження. По графіку видно, що весь алгоритм добре масштабується і має умовно оптимальне число процесів.

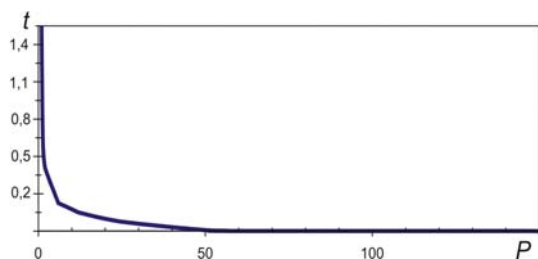


Рис. 4

Так як для даної методики рішення крайової задачі основна операція при обчисленні кожного елемента матриці – це визначення різностного аргумента циліндричних функцій Ханкеля, заданого на множині значень параметричних координат отверстий, а також обчислення самих цих функцій і коефіцієнтів при них, то на наступному етапі на кожному клоні хоста запускається цикл процедур визначення вказаних коефіцієнтів. При цьому синхронізація кожного процесу не потрібна, так як кінцева матриця збирається фактично завершення останнього.

Обчислювальний процес рішення СЛАУ також розпаралелюється відповідно [6]. Паралельне обчислення кінцевих шуканих характеристик здійснюється шляхом підстановки масивів значень невідомих функцій  $f_k(\beta_p)$  в представлення (7) аналогічно процедурам формування матриці СЛАУ.

### 5. Численні результати

В дослідженні досягалась точність обчислень порядку  $10^{-10}$ . Така точність забезпечена наступним: висока швидкість самого алгоритму, розв'язувальна здатність компіляторів мов високого рівня і розв'язувальна здатність операційних систем. Метод інтегральних рівнянь забезпечує

швидку швидкість рішення, а також функціональну залежність стабілізації знаків результатуючих даних від збільшення числа точок колокації. Для описаних завдань достатньо 2500–3000 точок колокації кожного контура для обчислення контурних напружень з вказаною точністю –  $10^{-10}$ .

З метою дослідження швидкості побудованого алгоритму розглянемо випадок нормального падіння ( $\psi = \pi/2$ ) хвилі зміщення (1) на систему еліптичних або ромбічних отверстий, розташованих вздовж однієї лінії на однаковій відстані  $d$  один від одного (рис. 5).

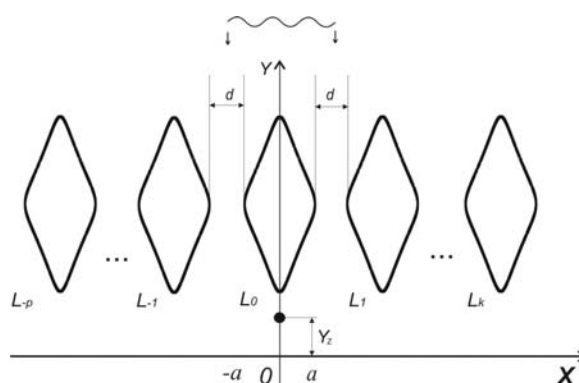


Рис. 5

Використовуємо відомі [7] параметричні рівняння для задання основного контура  $L_0$ :

$$\xi(\beta) = b \sin \beta - v \sin 3\beta,$$

$$\eta(\beta) = a \cos \beta + v \cos 3\beta, \quad 0 \leq \beta \leq 2\pi, \quad (15)$$

де при  $v = 0.14036$  контур має вигляд ромба зі скругленими кутами повернення. А в випадку  $v = 0$  контур має еліптичну форму. Решта контурів для простоти будемо розташовувати симетрично відносно осі Y. В цьому випадку розглядавана дифракційна задача має властивість симетрії, що дозволяє здійснювати первинне самостійне тестування отримуваних результатів.

В ході чисельної реалізації обчислювалися безрозмірні контурні напруження  $\sigma_\beta = \tau_s / \mu$ . Точність обчислень перевірялась шляхом порівняння результатів при різних значеннях  $N$ . Проводилось також порівняння отриманих результатів з результатами, наведеними в [5, 6] як для випадку самотнього

елліптичного отворстия, так и для бесконечной среды.

Проведено параметрическое исследование контурных напряжений на системе эллиптических или ромбических (со скруглениями) отворстий в полубесконечной среде с заземленной границей. Применение метода параллельных вычислений, проведенного на кластере «Инпарком–256», позволило исследовать сходимость до  $10^{-10}$  порядка. Обнаружено, что сходимость решения интегрального уравнения практически не зависит от числа отражателей.

Численное исследование показало, что в полубесконечном случае с заземленной границей в системе отворстий наблюдается такой же эффект насыщения, как и в [6, 8]. При линейном и симметричном относительно нагрузки расположении отворстий вдоль границы для исследования достаточно не более 9 отворстий. Дальнейшее увеличение числа отворстий не приводит к изменению характеристик стационарного волнового поля.

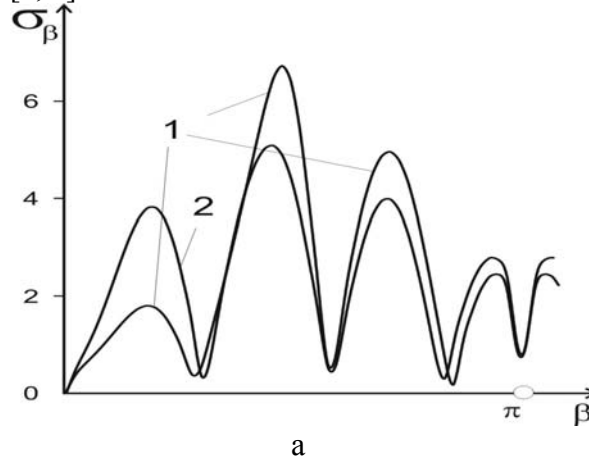
Для построенного алгоритма обнаружена MIMD-пропорция, свидетельствующая лишь об условно-оптимальном числе процессов. Для системы из 3–9 отворстий условно оптимальным является 200–250 параллельных процессов, что совпадает с результатом аналогичного исследования СЛАУ [9]. Увеличение числа процессов приводит лишь к незначительному снижению суммарного времени вычислений за счет части алгоритма без пересылок, а также и к приросту вычислительных расходов на балансировку загрузки процессоров при решении СЛАУ методом Гаусса.

Причем при фиксированной размерности матриц СЛАУ число отворстий не влияет на оптимальное число процессов, поскольку в интегральном уравнении каждый контур отворстия является частью суммарного контура интегрирования. Поэтому при прочих равных условиях свойства систем линейных уравнений, полученных и для одного отворстия, и

для девяти, не изменяются. Как и в случае [6, 8], от числа отворстий не зависит также сходимость алгоритма.

В работе проводились вычисления контурных напряжений  $\sigma_\beta$  вдоль контуров центрального  $L_0$  и крайнего  $L_k$  отворстий (рис. 2) в случае решетки, состоящей из нечетного числа отворстий ( $p = k$ ). Отсчет угла  $\beta$  ведется от нуля (теневая точка) до  $\pi$  (лобовая точка) для центрального отворстия (учитывается симметрия в случае нормального распределения волны сдвига) и от 0 до  $2\pi$  – для крайних отворстий (в силу симметрии распределения напряжений на контурах  $L_k$  и  $L_{-k}$  зеркальны). Рассматривается случай ромбов, вытянутых вдоль набегающей волны. При этом  $b/a = 2.5$ .

На рис. 6 показаны распределения  $\sigma_\beta$  вдоль контура центрального отворстия  $L_0$  в случае решетки, состоящей из трех ромбов. Воздействие – волна из бесконечности. Значения безразмерного волнового числа на рис. 6, а –  $\gamma_2 a = 1.7$ , и б –  $\gamma_2 a = 2.5$ . Кривая 1 показывает распределение напряжений для центрального отворстия в случае решетки, где  $d = 0,5a$ . Кривая 2 – для решетки с  $d = 2a$ . Результаты показывают, что чем ближе отворстия друг к другу, тем выше контурные напряжения. Если в теневой ( $\beta = 0$ ) и лобовой ( $\beta = \pi$ ) точках  $\sigma_\beta = 0$ , то в зоне соскальзывания с увеличением  $\gamma_2 a$  число локальных максимумов  $\sigma_\beta$  также увеличивается, причем растет и максимальное значение  $\sigma_\beta$ . Такой вывод полностью совпадает с результатами работ [5, 6].



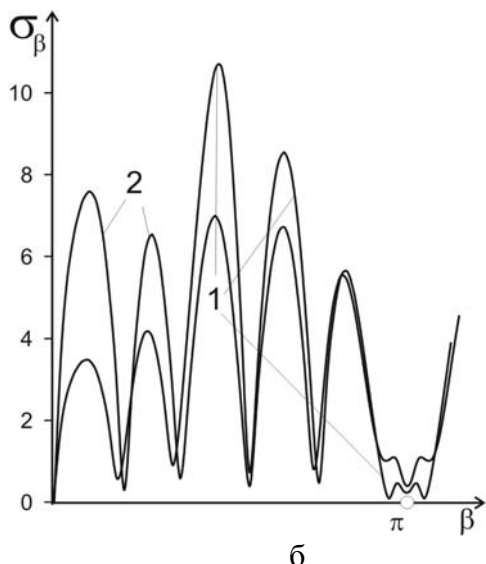


Рис. 6

На рис. 7 показано аналогічне розподілення  $\sigma_\beta$  вдоль контура отворстия, крайнего слева. Нумерация кривых имеет тот же смысл. Здесь наблюдаются локальные минимумы в теневой ( $\beta = 0$ ) и лобовой ( $\beta = \pi$ ) точках. Число локальных максимумов в зоне соскальзывания с увеличением  $\gamma_2 a$  также увеличивается. Максимальное значение  $\sigma_\beta$ , как и на рис. 3, растет с уменьшением периода решетки и с увеличением  $\gamma_2 a$ . Причем наблюдается две различных по интенсивности зоны соскальзывания – внутренняя и внешняя. Как следует из приведенных графиков, при относительно близком расположении объектов во внутренней зоне соскальзывания наблюдается значительный рост контурных SH-напряжений по сравнению с внешней зоной.

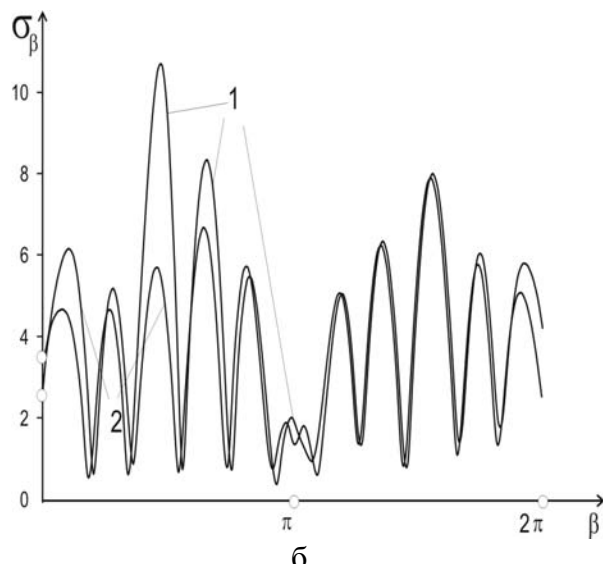
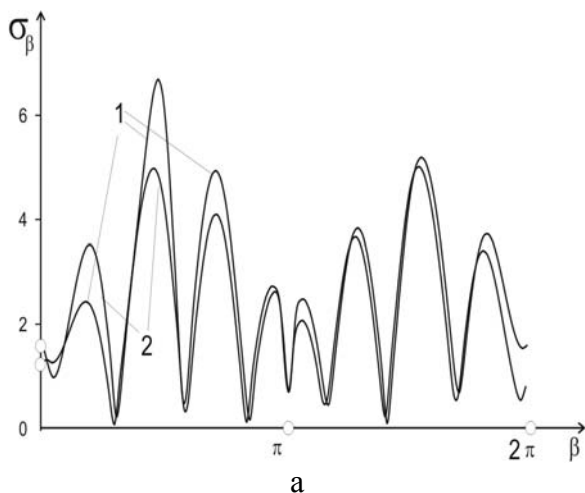
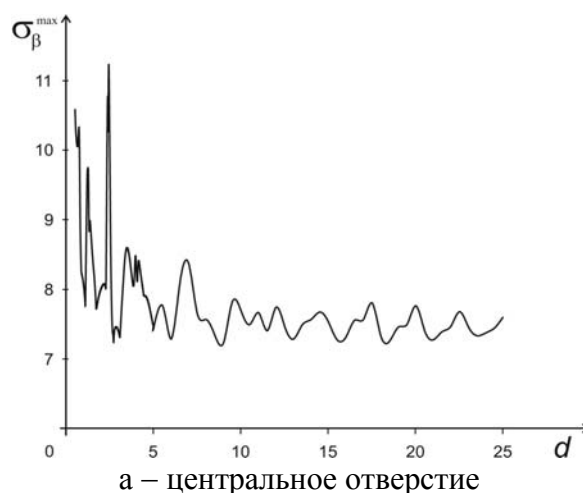


Рис. 7

Рис. 8 иллюстрируют динамику снижения амплитуды максимального значения  $\sigma_\beta$  на контуре центрального (рис. 8, а) и крайнего слева (рис. 8, б) отворстий в зависимости от увеличения параметра решетки  $d$  (рис. 2) при  $b/a = 2.5$ ,  $\gamma_2 a = 2.5$  в случае симметричного нагружения SH-волной (1). Как и в [6], растягивание решетки приводит к уменьшению значений  $\sigma_\beta$ . И стабилизации пульсаций этих значений при достаточно больших  $d$ . Причём с увеличением волнового числа  $\gamma_2 a$  стабилизация пульсаций  $\sigma_\beta$  достигается при бóльших значениях параметра решётки  $d$ .

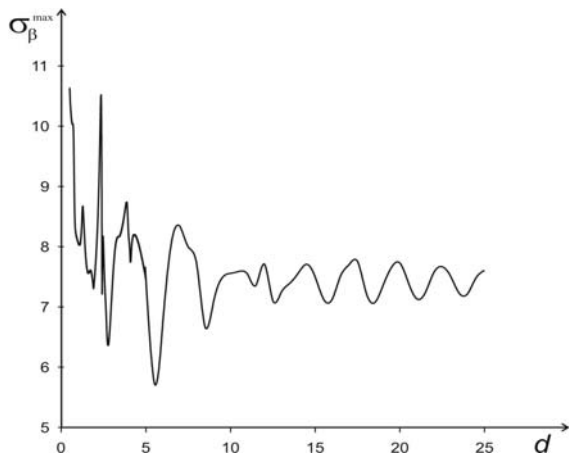


а

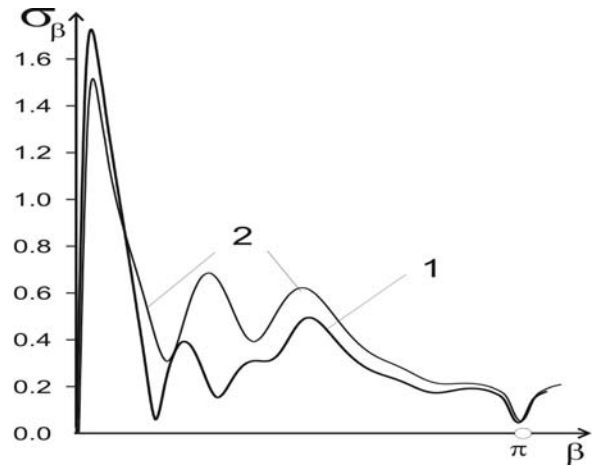


а – центральное отворстие





б – отверстие, крайнее слева  
Рис. 8



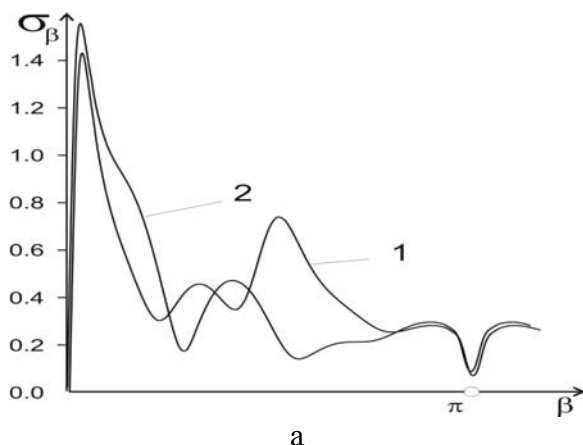
б  
Рис. 9

На рис. 9 показаны распределения  $\sigma_\beta$  вдоль контура центрального отверстия  $L_0$  в случае решетки, состоящей из трех ромбов. Воздействие – точечный источник, находящийся на оси  $Y$  на расстоянии  $a$  от границы. Значения безразмерного волнового числа: а –  $\gamma_2 a = 1.7$  и б –  $\gamma_2 a = 2.5$ . Кривая 1 показывает распределение напряжений для центрального отверстия в случае решетки, где  $d = 0,5a$ . Кривая 2 – для решетки с  $d = 2a$ .

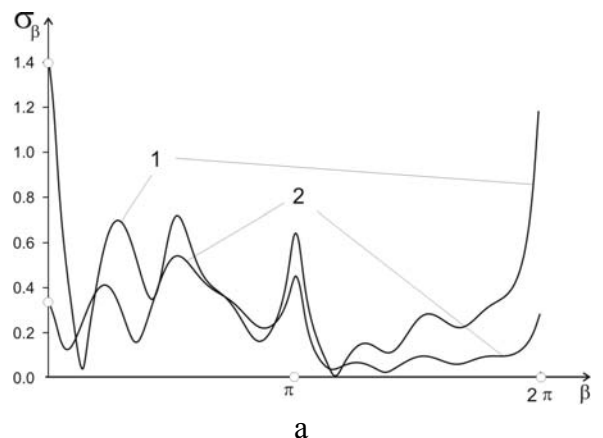
Результаты показывают, что характер зависимостей несколько меняется. Наблюдаются явные пульсации зависимости  $\sigma_\beta$  от  $d$ . То есть, для некоторых значений  $d$  пик напряжения наблюдается на кривых 2. А для иных  $d$  – как и в случае воздействия волны из бесконечности, для кривых 1: чем ближе отверстия друг к другу, тем выше контурные напряжения. При этом очевидно, что чем выше  $\gamma_2 a$ , тем чаще чередуются такие отрезки  $d$ . Эта зависимость особенно наглядно будет видна на рис. 11.

Однако общая тенденция наблюдается – если в теневой ( $\beta = 0$ ) и лобовой ( $\beta = \pi$ ) точках  $\sigma_\beta = 0$ , то в зоне соскальзывания с увеличением  $\gamma_2 a$  число локальных максимумов  $\sigma_\beta$  также увеличивается, причем растет и максимальное значение  $\sigma_\beta$ .

На рис. 10 показано аналогичное распределение  $\sigma_\beta$  вдоль контура отверстия, крайнего слева. Нумерация кривых имеет тот же смысл. Здесь наблюдаются локальные минимумы в теневой ( $\beta = 0$ ) и лобовой ( $\beta = \pi$ ) точках. Число локальных максимумов в зоне соскальзывания с увеличением  $\gamma_2 a$  также увеличивается. В окрестности  $d = 2a$  максимальное значение  $\sigma_\beta$  (как и на рис. 11, б) растет с увеличением периода решетки и с увеличением  $\gamma_2 a$ . Причем наблюдается две различных по интенсивности зоны соскальзывания – внутренняя и внешняя.

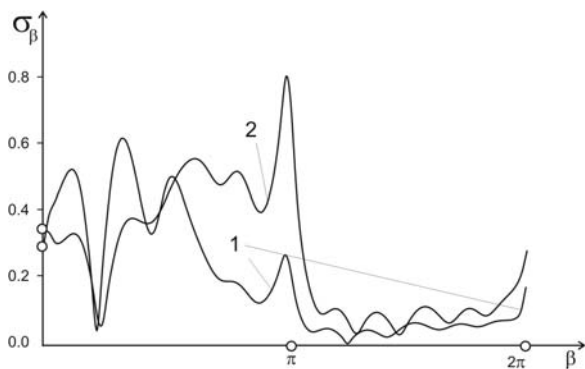


а



а

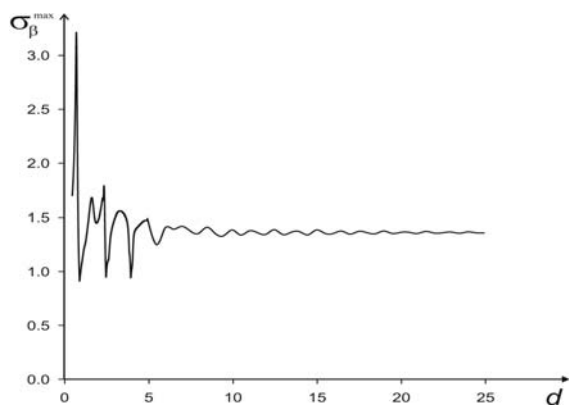




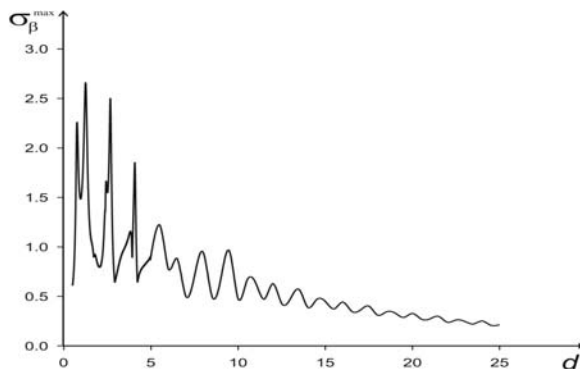
б  
Рис. 10

Как следует из приведенных графиков, при относительно близком расположении объектов во внутренней зоне соскальзывания наблюдается значительный рост контурных SH-напряжений по сравнению с внешней зоной.

Рис. 11 так же, как и в случае воздействия волны из бесконечности, иллюстрируют динамику снижения амплитуды максимального значения  $\sigma_\beta$  на контуре центрального (рис. 11, а) и крайнего слева (рис. 11, б) отверстий. Увеличивается параметр решетки  $d$  (рис. 2) при  $b/a = 2.5$ ,  $\gamma_2 a = 2.5$  в случае симметричного нагружения. Как и в [6], растягивание решетки приводит к уменьшению значений  $\sigma_\beta$  и стабилизации пульсаций этих значений при достаточно больших  $d$ . Причём с увеличением волнового числа  $\gamma_2 a$  стабилизация пульсаций  $\sigma_\beta$  достигается при больших значениях параметра решётки  $d$ .



а – центральное отверстие



б – отверстие, крайнее слева  
Рис. 11

Известно [6, 7], что для установившихся колебаний при сколь угодно больших значениях расстояния между объектами, вблизи объектов все же наблюдается незначительное влияние решетки. Графики, показанные на рис. 11, иллюстрируют наличие слабых пульсаций значений  $\sigma_\beta$  вблизи константы – значения максимума напряжения  $\sigma_\beta$  на контуре соответствующего одиночного отверстия. Этим также подтверждается достоверность используемого алгоритма.

Разработанная схема численного эксперимента позволила сформировать уникальную таблицу высокоточных значений (до  $10^{-10}$ ) максимумов касательных напряжений и соответствующих угловых координат на контуре эллиптического или ромбического центрального или крайних отверстий (в системе от 3 до 9 объектов). Воздействие – волна из бесконечности или расположенный вблизи точечный источник гармонических SH-волн для фиксированных геометрических соотношений отверстий и большинства волновых чисел. По мнению автора, такая таблица сформирована впервые.

В таблице приводится фрагмент этого результата в случае распространяющейся SH-волны (из бесконечности или от точечного источника), воздействующей на систему из трех эллиптических или ромбических отверстий с соотношением осей  $b/a = 2.5$ , параметром решетки  $d = 2a$  и волновыми числами  $\gamma_2 a$  равными 1,7 и 2.5 соответственно.

Таблиця. Высокоточные значения максимумов касательных напряжений

Источник	Тип контура	$\gamma_2 a$	Расположение отверстия	Угол $\beta$ в радианах	Максимум $\sigma_\beta$
Волна из/б	Эллипс	1,7	Центральное	0,5686600035	5,0464229428
Волна из/б	Эллипс	1,7	Крайнее справа	0,5797843285	4,5949148212
Волна из/б	Ромбик	1,7	Центральное	4,8685519838	5,1334723570
Волна из/б	Ромбик	1,7	Крайнее справа	1,4244175805	5,2176856614
Точ. источ.	Эллипс	1,7	Центральное	5,8846155724	1,0479724809
Точ. источ.	Эллипс	1,7	Крайнее справа	4,2344860978	0,6106355182
Точ. источ.	Ромбик	1,7	Центральное	0,1037147043	1,5277278346
Точ. источ.	Ромбик	1,7	Крайнее справа	4,6676274005	0,5141003888
Волна из/б	Эллипс	2,5	Центральное	5,2962455795	6,4732441454
Волна из/б	Эллипс	2,5	Крайнее справа	5,3087099723	6,6419534735
Волна из/б	Ромбик	2,5	Центральное	5,9680209910	7.6035515628
Волна из/б	Ромбик	2,5	Крайнее справа	1,4345722234	8.0431884160
Точ. источ.	Эллипс	2,5	Центральное	0,2345264692	0,5365214007
Точ. источ.	Эллипс	2,5	Крайнее справа	6,1775312385	0,3499206999
Точ. источ.	Ромбик	2,5	Центральное	0,1014049544	1,4957191164
Точ. источ.	Ромбик	2,5	Крайнее справа	3,1592925412	0,8071252579

### Заключение

Таким образом, для задачи дифракции сдвиговых волн на системе отверстий некруговой формы в полубесконечной упругой среде параллельные алгоритмы позволяют значительно сократить время вычислений и более детально проанализировать характеристики волнового поля. Это очень важно, так как получение точных величин резонансных максимумов контурных напряжений вплоть до 10-го знака, а также точных координат их дислокации позволяет избежать разрушений конструкций, работающих в условиях динамических нагрузок.

Сочетание метода интегральных уравнений, позволяющего на единицу снизить размерность задачи, и процедур распараллеливания, приводящих к значительной экономии времени вычислений, существенно увеличивает эффективность предложенного алгоритма.

1. Гуляев Ю.В., Кравченко В.Ф., Рвачев В.Л., Сизова Н.Д. Исследование дифракции

упругих волн на пластинах, ослабленных двумя отверстиями произвольной формы // ДАН. Математическая физика. – 1996. – 349, № 2. – С. 175 – 179.

2. Вертгайм И.И., Терпигуров В.Н. Параллельные технологии вычислений в механике сплошных сред и МДТГ.: Учебное пособие. – Пермь, 2007. – 84 с.
3. Панасюк В.В., Саврук М.П., Назарчук З.Т. Метод сингулярных интегральных уравнений в двумерных задачах дифракции. – Киев: Наук. думка, 1984. – 344 с.
4. Фильштинский Л.А. Дифракция упругих волн на трещинах, отверстиях, включениях в изотропной среде // Изв. АН СССР. Механика твердого тела. – 1991. – № 4. – С. 119–127.
5. Назаренко А.М. Дифракция волн сдвига на цилиндрических включениях и полосах в упругом полупространстве // Проблемы прочности. – 1990. – № 11. – С. 90 – 94.
6. Назаренко А.М., Панченко Б.Е. Схема параллельных вычислений в задачах дифракции волн сдвига на системе отверстий в бесконечной упругой среде // Проблемы программирования. – 2010. – № 2-3. – С. 604 – 610.
7. Гузь А.Н., Немшиш Ю.Н. Метод возмущения формы границы в механике сплош-

- ных сред. – Киев, 1989. – 352 с.
8. Кюркчан А.Г., Скородумова Е.А. Решение трехмерной задачи дифракции волн на группе объектов // Акустический журнал. – 2007. – 53, № 1. – С. 5 – 14.
  9. Химич А.Н., Молчанов И.Н., Попов А.В. Численное программное обеспечение интеллектуального МІМД-компьютера «Инпарком». – Киев, 2007. – 220 с.

Получено 11.08.2011

**Об авторе:**

*Панченко Борис Евгеньевич,*  
кандидат физико-математических наук,  
старший научный сотрудник.

**Место работы автора:**

Институт кибернетики имени  
В.М. Глушкова НАН Украины,  
проспект Академика Глушкова, 40.  
(044) 526 3603, [pr-bob@ukr.net](mailto:pr-bob@ukr.net)